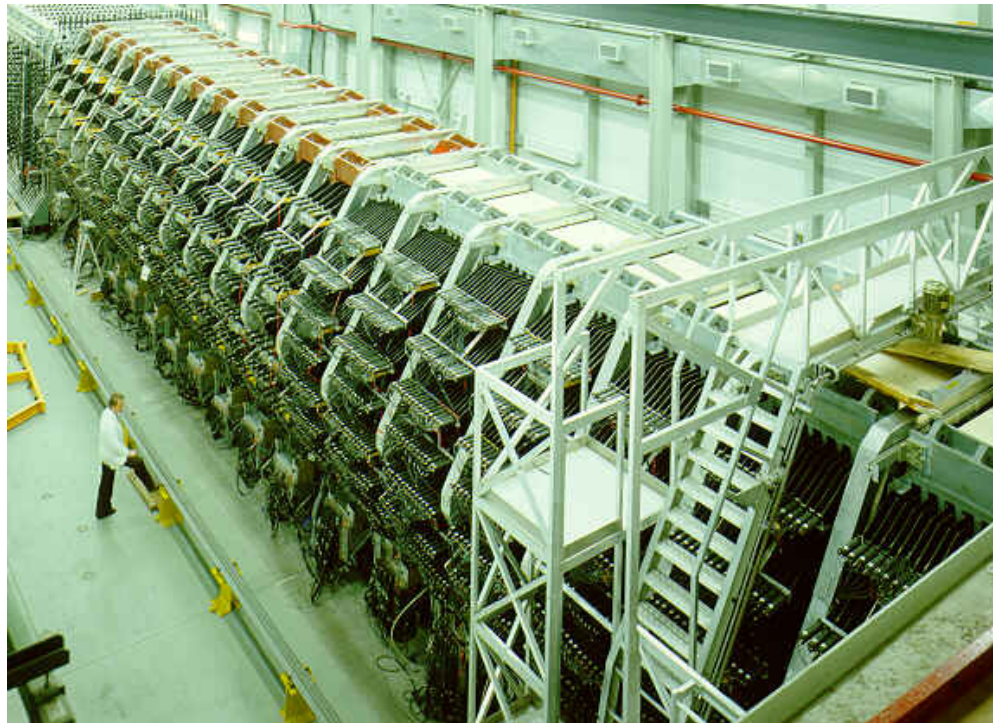


Bestimmung der Nukleonstruktur mit CDHS

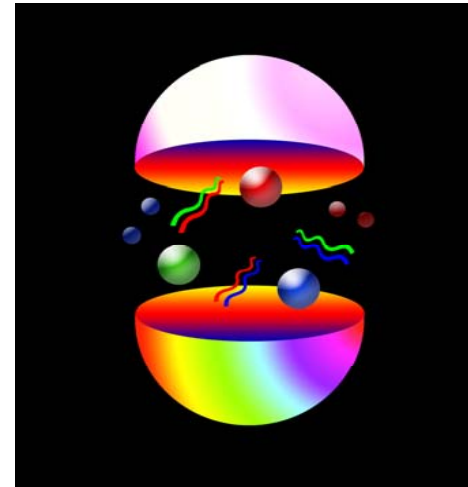
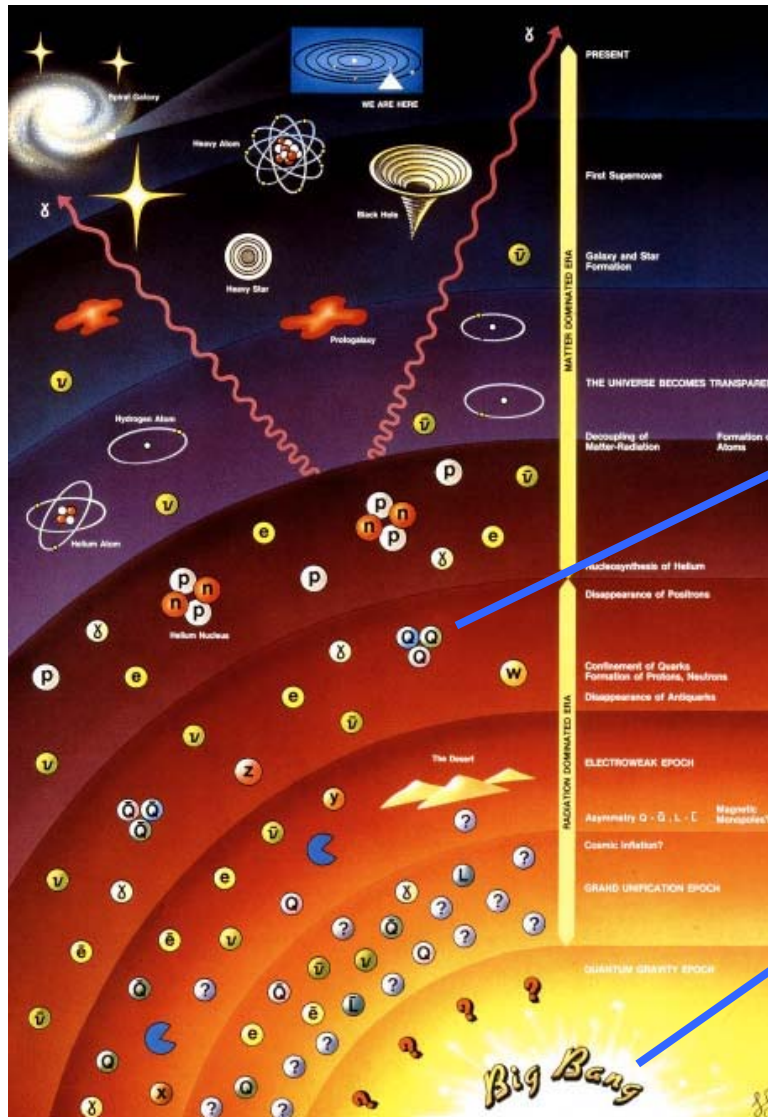


Valerie Lang

Inhaltsübersicht

- Motivation
- Neutrinostreuung
- Wirkungsquerschnitte
- CDHS Detektor
- Strukturfunktionen
- Zusammenfassung

Motivation



Neutrino-Streuung

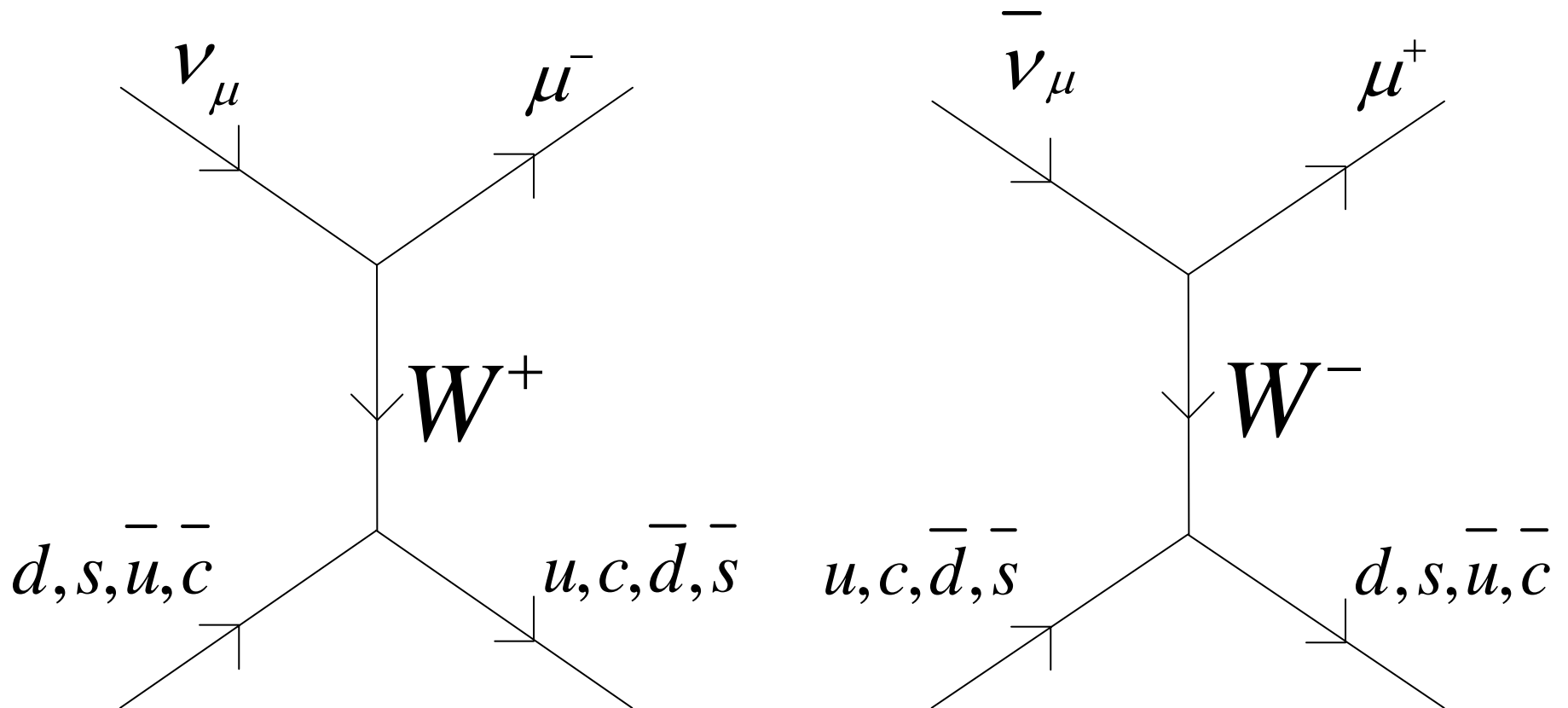
- Prozesse mit Myonproduktion:

$$\nu_{\mu} + \text{Nukleon} \rightarrow \mu^{-} + \text{Hadronen}$$

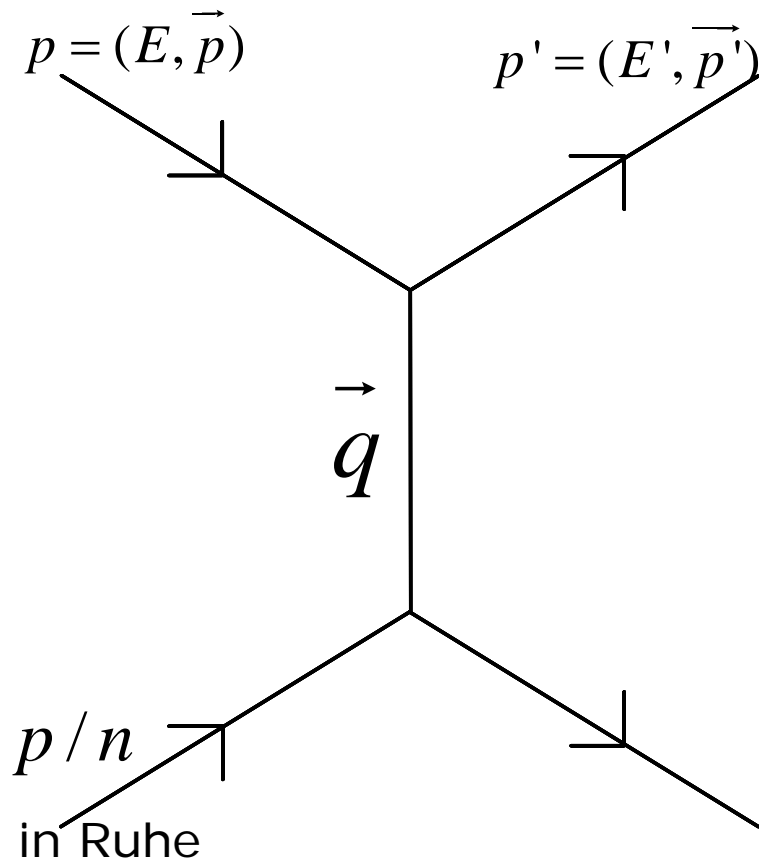
$$\bar{\nu}_{\mu} + \text{Nukleon} \rightarrow \mu^{+} + \text{Hadronen}$$

- In CDHS: Suche nach entstandenen Myonen

Streuprozesse



Wirkungsquerschnitte



$$q^2 = (p - p')^2$$
$$= -4E \cdot E' \cdot \sin^2\left(\frac{\mathcal{G}}{2}\right) = -Q^2$$

WQ - Elastische Streuung punktförmiger Teilchen

- $$\frac{d\sigma}{dQ^2} = \frac{4\pi\alpha}{Q^4} \cdot \frac{E'}{E} \cdot \{\dots\}$$

- Strahlteilchen = Spin ½ Teilchen

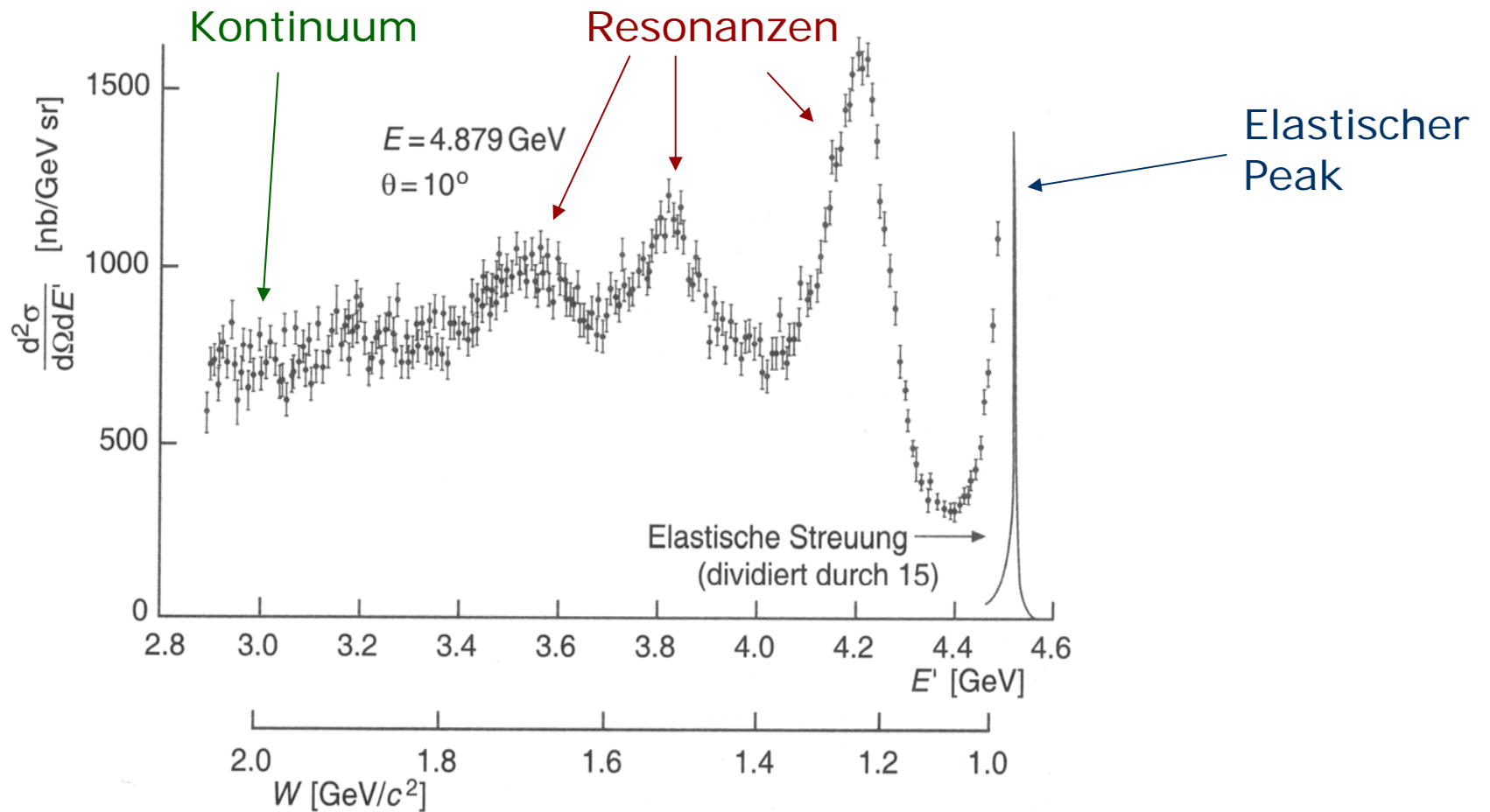
$$\{\dots\} = \cos^2\left(\frac{\vartheta}{2}\right)$$

- Strahl- und Targetteilchen = Spin ½ Teilchen

$$\{\dots\} = \cos^2\left(\frac{\vartheta}{2}\right) + \frac{Q^2}{2M^2} \sin^2\left(\frac{\vartheta}{2}\right)$$

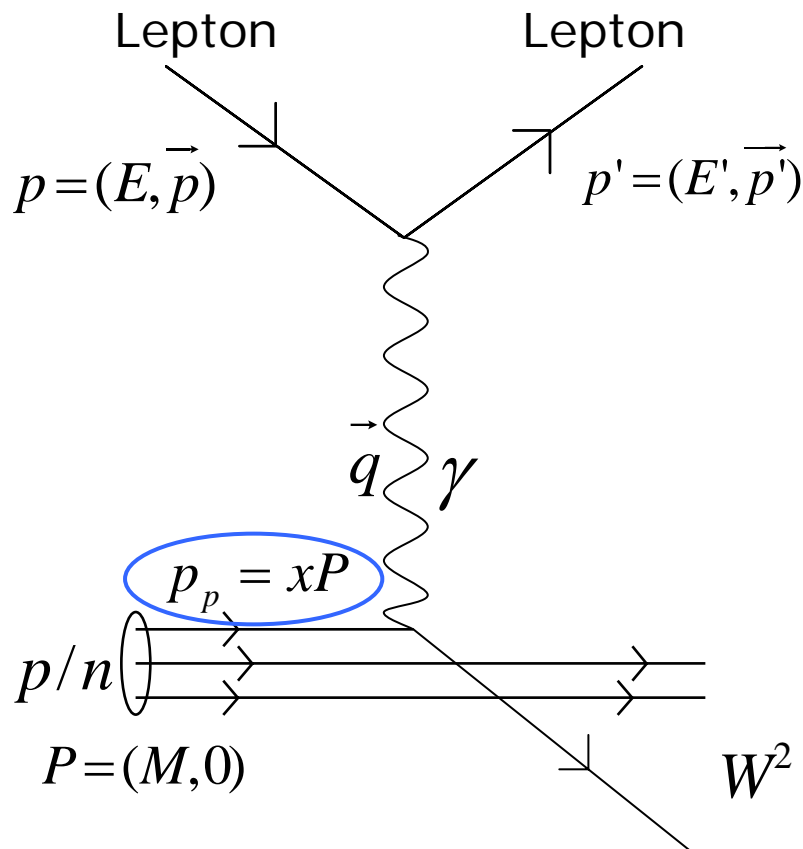
-> Wechselwirkung der magnetischen Momente der Stoßteilchen

WQ – Tiefinelastische Nukleonstreuung mit Leptonen



-> Kontinuum: quasielastische Streuung an Partonen

WQ – Tiefinelastische Nukleonstreuung



- W = invariante Masse

$$W^2 = (P + q)^2 = M^2 + 2Pq + q^2$$

$$= M^2 + 2M\nu - Q^2$$

- Mit: $\nu = \frac{Pq}{M} = E - E'$
im Laborsystem

- Definiere: Bjorkensche SkalenvARIABLE

$$x = \frac{Q^2}{2Pq} = \frac{Q^2}{2M\nu}$$

- Inelastischer Prozess

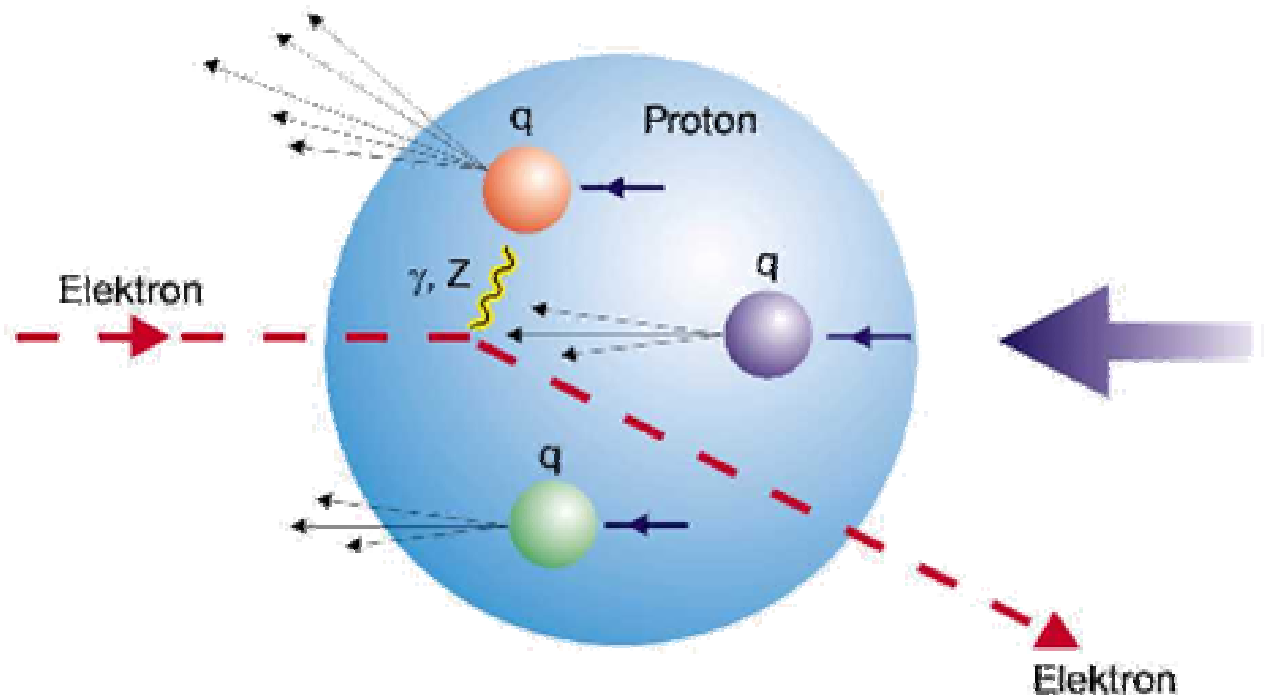
$$\Leftrightarrow W > M$$

$$\Leftrightarrow 2M\nu - Q^2 > 0$$

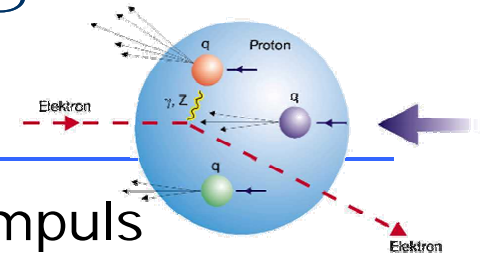
$$\Leftrightarrow 0 < x < 1$$

WQ – Quasielastische Streuung von Leptonen am Parton

- $p_p = xP$ mit p_p Partonimpuls, P Nukleonimpuls
- $m_p = xM$ mit m_p Partonmasse, M Nukleonmasse



WQ – Quasielastische Streuung von Leptonen am Parton



- $p_p = xP$ mit p_p Partonimpuls, P Nukleonimpuls
- $m_p = xM$ mit m_p Partonmasse, M Nukleonmasse

=> Wirkungsquerschnitt: Partonladung

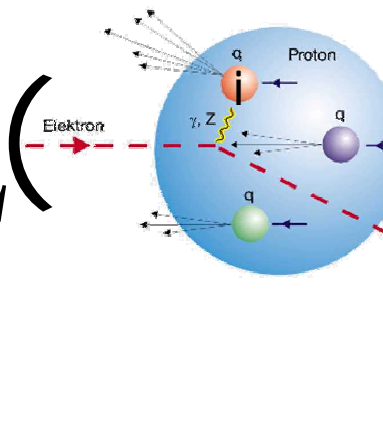
$$\frac{d\sigma}{dQ^2} = \frac{4\pi\alpha}{Q^4} \frac{E'}{E} e_i^2 \left(\cos^2\left(\frac{\mathcal{Q}}{2}\right) + \frac{Q^2}{2x^2M^2} \sin^2\left(\frac{\mathcal{Q}}{2}\right) \right)$$

- Wahrscheinlichkeit, Parton mit relativem 4er Impulsanteil in $[x, x+dx]$ zu finden: $q_i(x)dx$

$$\Rightarrow \frac{d^2\sigma}{dQ^2 dx} = \frac{4\pi\alpha}{Q^4} \frac{E'}{E} e_i^2 q_i(x) \cdot \left(\cos^2\left(\frac{\mathcal{Q}}{2}\right) + \frac{Q^2}{2x^2M^2} \sin^2\left(\frac{\mathcal{Q}}{2}\right) \right)$$

WQ – Tiefinelastische Streuung am Nukleon

- Summe über alle im Nukleon vorhandenen Partonen

$$\frac{d^2\sigma}{dQ^2 dx} = \sum_i \left(\text{Diagramm} \right)$$


WQ – Tiefinelastische Streuung am Nukleon

- Summe über alle im Nukleon vorhandenen Partonen

$$\frac{d^2\sigma}{dQ^2 dx} = \frac{4\pi\alpha}{Q^4} \frac{E'}{E} \left(\sum_i e_i^2 q_i(x) \cos^2\left(\frac{\vartheta}{2}\right) + \sum_i e_i^2 q_i(x) \frac{Q^2}{2x^2 M^2} \sin^2\left(\frac{\vartheta}{2}\right) \right)$$

- Definiere:

$$F_2(x) = x \sum_i e_i^2 q_i(x)$$

$$F_1(x) = \frac{1}{2} \sum_i e_i^2 q_i(x)$$

$$\Rightarrow \frac{d^2\sigma}{dQ^2 dx} = \frac{4\pi\alpha}{Q^4} \frac{E'}{E} \left(\frac{F_2}{x} \cos^2\left(\frac{\vartheta}{2}\right) + 2F_1 \frac{Q^2}{2x^2 M^2} \sin^2\left(\frac{\vartheta}{2}\right) \right)$$

WQ – Tiefinelastische Streuung am Nukleon

□ Definiere: $y = \frac{\nu}{E} = \frac{E - E'}{E}$ relativer Energieübertrag

$$\Rightarrow Q^2 = 2MExy \quad ; \quad \frac{E'}{E} = 1 - y \quad ; \quad \sin^2\left(\frac{\vartheta}{2}\right) = \frac{Q^2}{4EE'} = \frac{Mxy}{2E'}$$

$$\text{und } \cos^2\left(\frac{\vartheta}{2}\right) = 1 - \sin^2\left(\frac{\vartheta}{2}\right) \approx 1 \quad \text{für Neutrinos}$$

□ Damit:
$$\frac{d^2\sigma}{dQ^2 dx} = \frac{4\pi\alpha}{Q^4} \left((1-y) \frac{F_2}{x} + \frac{y^2}{2} \frac{2xF_1}{x} \right)$$

□ Außerdem: $dQ^2 = 2MEx \cdot dy$

$$\Rightarrow \frac{d^2\sigma}{dx dy} = 2ME \frac{4\pi\alpha}{Q^4} \left((1-y) F_2(x) + \frac{y^2}{2} 2xF_1(x) \right)$$

WQ – Tiefinelastische Streuung am Nukleon mit Neutrinos

- ▣ Vorher: Streuung mit Leptonen, d.h. elektromagnetische Wechselwirkung

$$\frac{d^2\sigma}{dxdy} = 2ME \cdot 4\pi\alpha \cdot \frac{1}{Q^4} \left((1-y)F_2(x) + \frac{y^2}{2} 2xF_1(x) \right)$$

Kopplung
Propagator
weitere Strukturfunktion

- ▣ Jetzt: Streuung mit Neutrinos, d.h. schwache Wechselwirkung

$$\frac{d^2\sigma^{\nu,\bar{\nu}}}{dxdy} = 2ME \left(\frac{G^2}{2\pi} \frac{1}{(1+Q^2/m_W^2)^2} \left((1-y)F_2^{\nu,\bar{\nu}} + \frac{y^2}{2} 2xF_1^{\nu,\bar{\nu}} \pm \left(y - \frac{y^2}{2} \right) xF_3^{\nu,\bar{\nu}} \right) \right)$$

- Mit G = Fermi Kopplungskonstante und m_W = Masse des W-Bosons

- ▣ $F_2^{\nu,\bar{\nu}} = 2xF_1^{\nu,\bar{\nu}}$ Callan-Gross Relation für Spin 1/2 Teilchen;

$$F_2^{\nu,\bar{\nu}}(x) = q(x) + \bar{q}(x) ; \quad xF_3^{\nu,\bar{\nu}}(x) = q(x) - \bar{q}(x)$$

WQ - Neutrino-Streuung

$$\square \frac{d^2\sigma^{\nu,\bar{\nu}}}{dxdy} = \frac{G^2 ME_\nu}{\pi} \frac{1}{(1+Q^2/m_W^2)^2} \left((1-y) F_2^{\nu,\bar{\nu}} + \frac{y^2}{2} 2xF_1^{\nu,\bar{\nu}} \pm \left(y - \frac{y^2}{2} \right) xF_3^{\nu,\bar{\nu}} \right)$$

□ Verständnis von F_3 : Transformation ins

Quarkbild:

$$q(x) = x(u(x) + d(x) + s(x) + c(x))$$

$$\bar{q}(x) = x(\bar{u}(x) + \bar{d}(x) + \bar{s}(x) + \bar{c}(x))$$

$$\Rightarrow \frac{d^2\sigma^\nu}{dxdy} = \frac{G^2 ME_\nu}{\pi} \left[q + (1-y)^2 \bar{q} \right]$$

d.h. Erklärung des $(1-y)^2$ Faktors erklärt F_3 .

WQ – Neutrino-Streuung – Charged current events

- Mögliche Stoßprozesse mit W-Austausch:

$$\nu_{\mu} + d/s/\bar{u}/\bar{c} \rightarrow \mu^{-} + u/c/\bar{d}/\bar{s}$$

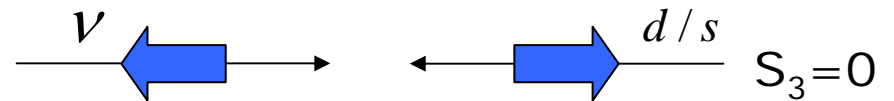
$$\bar{\nu}_{\mu} + u/c/\bar{d}/\bar{s} \rightarrow \mu^{+} + d/s/\bar{u}/\bar{c}$$

- Beachte Händigkeiten:

- Neutrino: linkshändig
- Antineutrino: rechtshändig

Für Neutrinos:

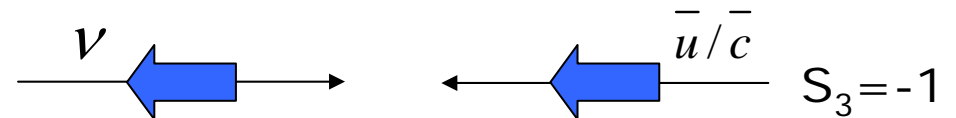
Vor dem Stoß:



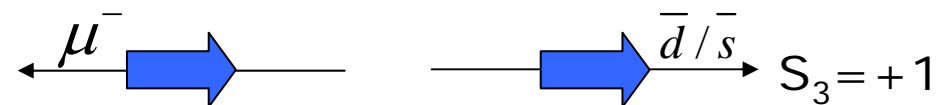
Nach dem Stoß:



Vor dem Stoß:



Nach dem Stoß:



-> unterdrückt

WQ – Neutrino-Streuung

- ▣ Streuung von ν mit Antiquarks um 180° : unterdrückt mit $(1 + \cos\theta)^2$
- ▣ Im Laborsystem: $\sim (1-y)^2$

$$\Rightarrow \frac{d^2\sigma^{\nu \rightarrow p}}{dx dy} = \frac{G^2}{\pi} 2ME_\nu x \left[d + s + (1-y)^2 (\bar{u} + \bar{c}) \right]$$

- ▣ Fürs Neutron: Isospin-Symmetrie:

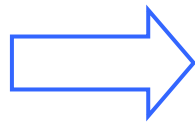
Proton Neutron

$$u^p(x) \rightarrow d^n(x)$$

$$d^p(x) \rightarrow u^n(x)$$

$$s^p(x) \rightarrow s^n(x)$$

$$c^p(x) \rightarrow c^n(x)$$

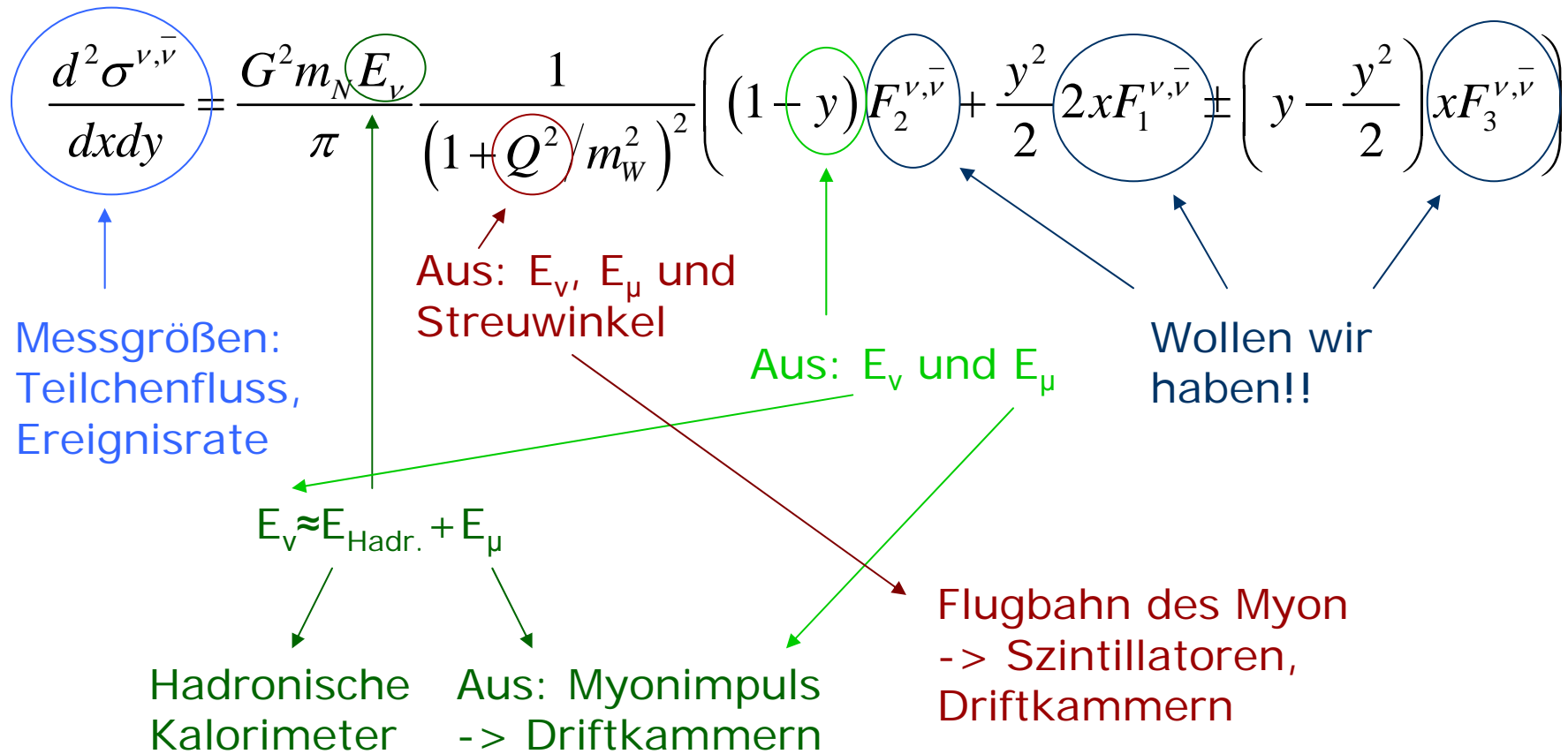


- ▣ Isoskalares Target -> Nukleon

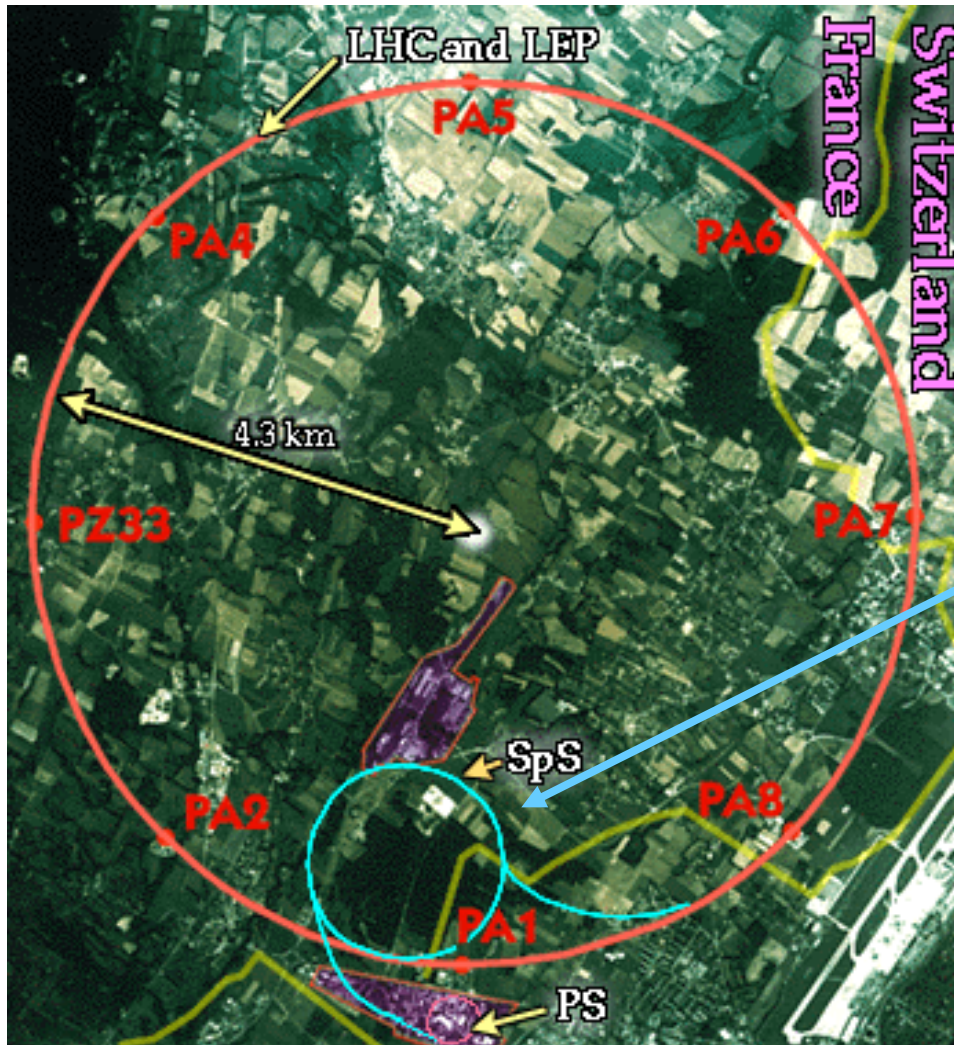
$$\begin{aligned} \frac{d^2\sigma^{\nu \rightarrow N}}{dx dy} &= \frac{1}{2} \left(\frac{d^2\sigma^{\nu \rightarrow p}}{dx dy} + \frac{d^2\sigma^{\nu \rightarrow n}}{dx dy} \right) \\ &= \frac{G^2}{\pi} ME_\nu \left[q + (1-y)^2 \bar{q} \right] \end{aligned}$$

$\Rightarrow xF_3$ berücksichtigt Teilchenhäufigkeiten

Nukleonstruktur - Strukturfunktionen

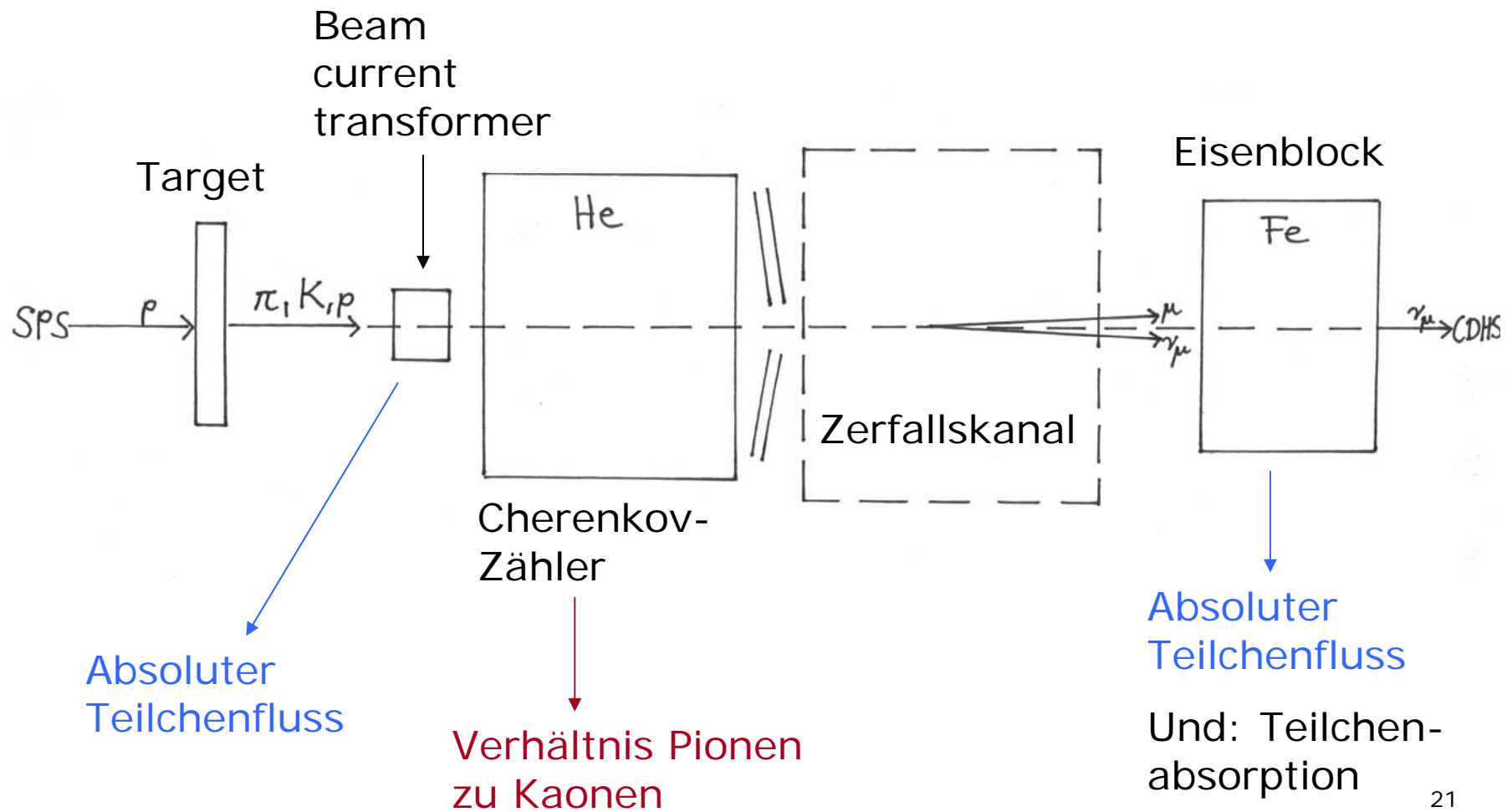


CERN

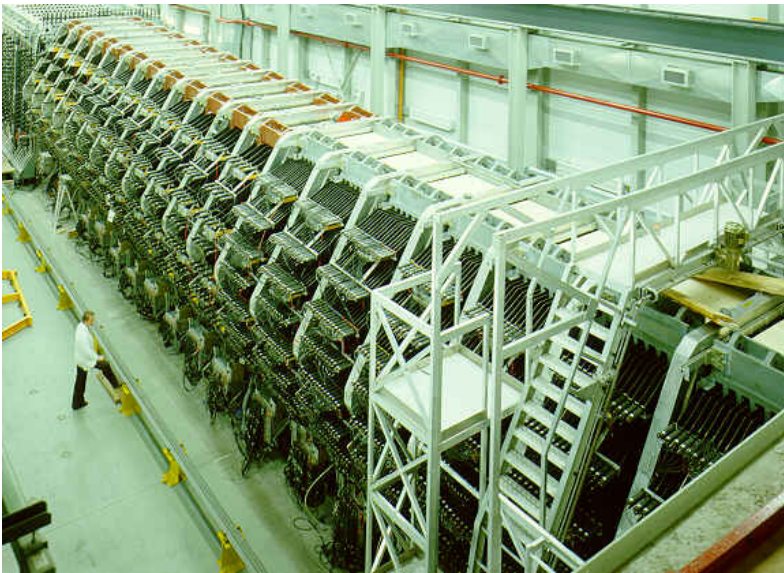


- SPS: Super Proton Synchrotron
 - Protonenergien bis 400GeV
 - Umfang 7km

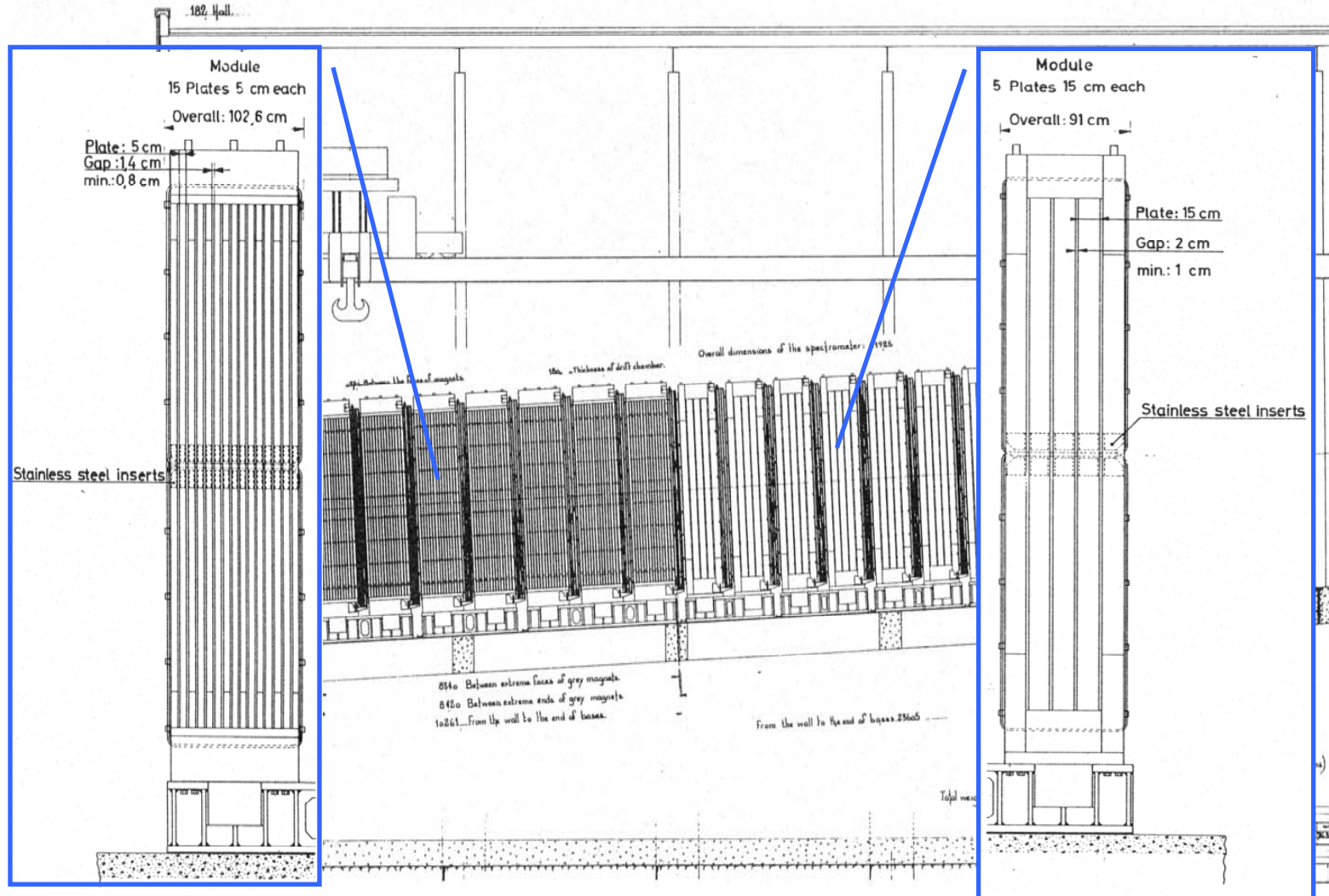
Neutrinostrahlen für CDHS



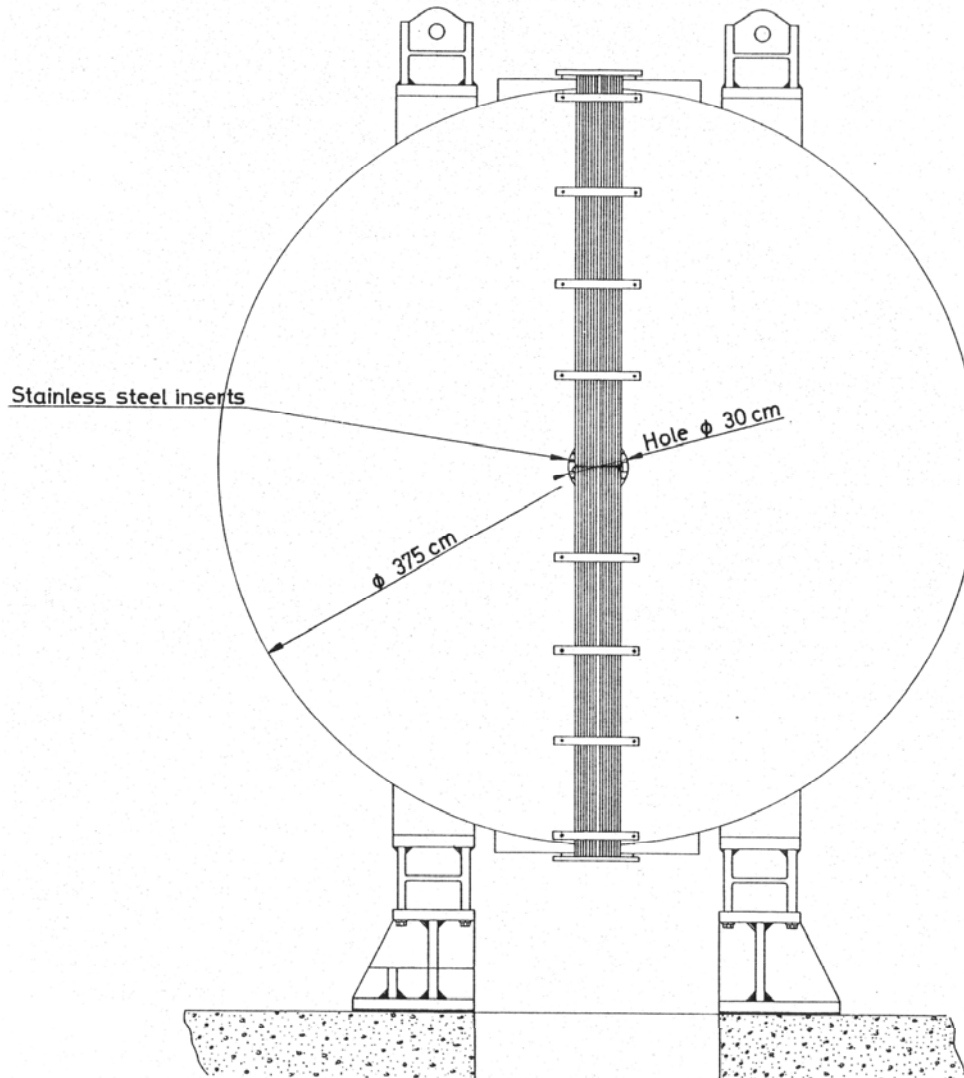
CDHS – CERN Dortmund Heidelberg Sarclay



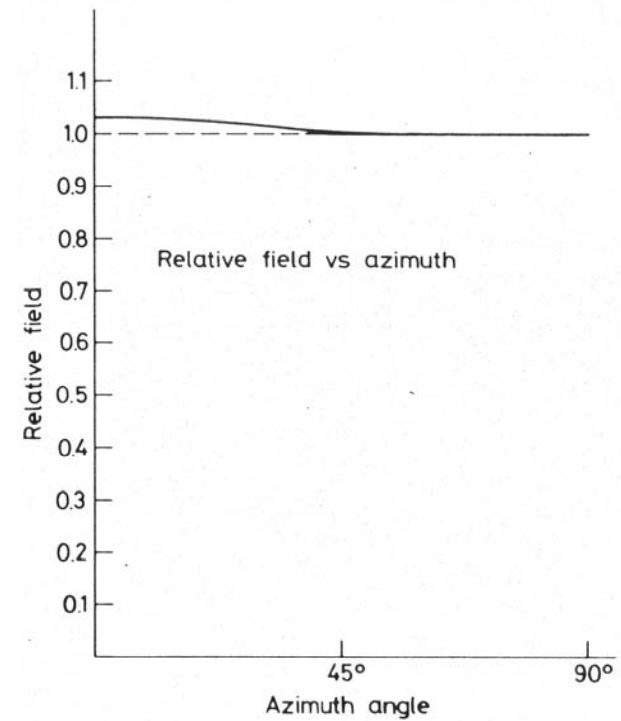
CDHS – CERN Dortmund Heidelberg Sarclay



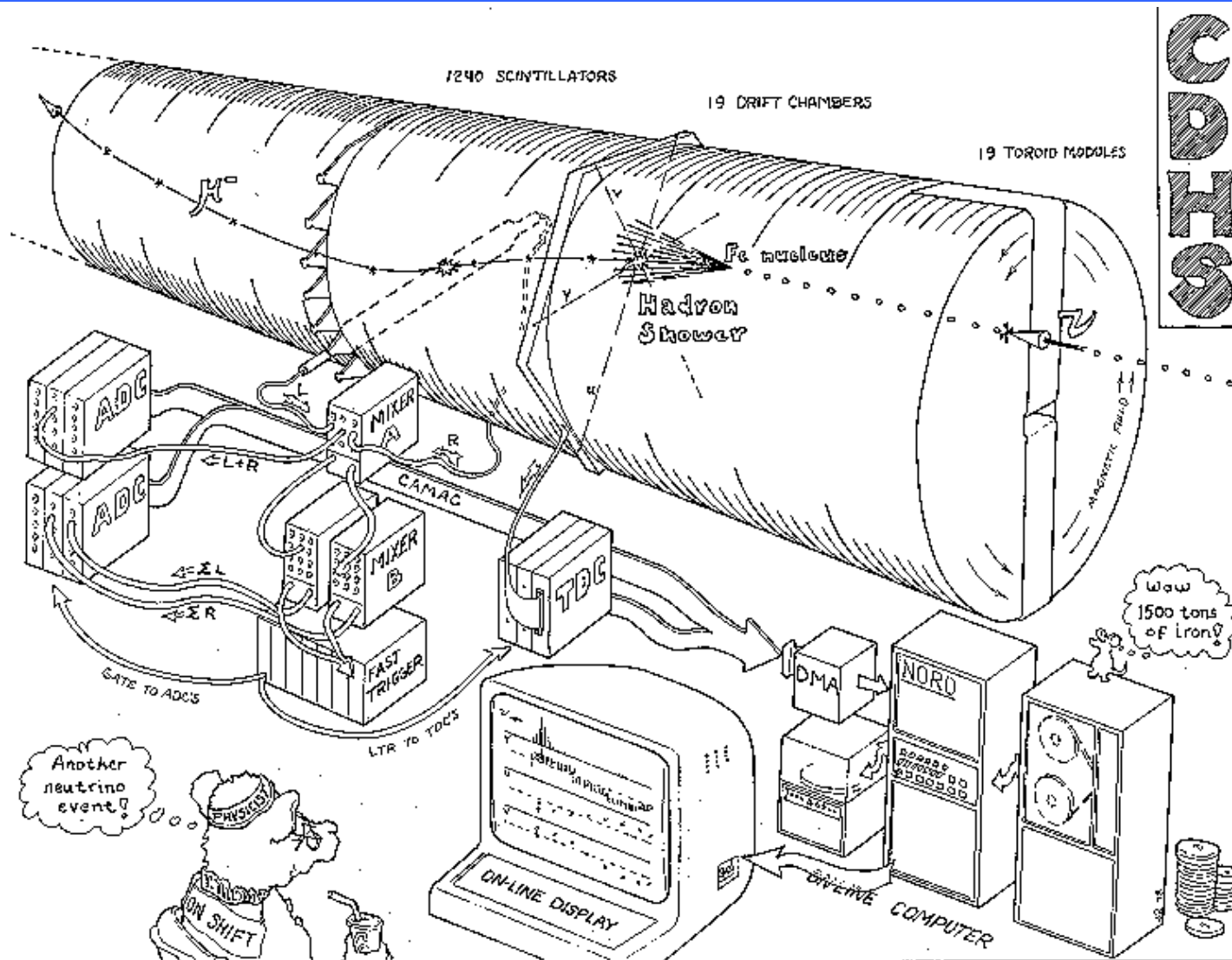
Frontansicht eines Modules von CDHS



Magnetfeld im Eisen:

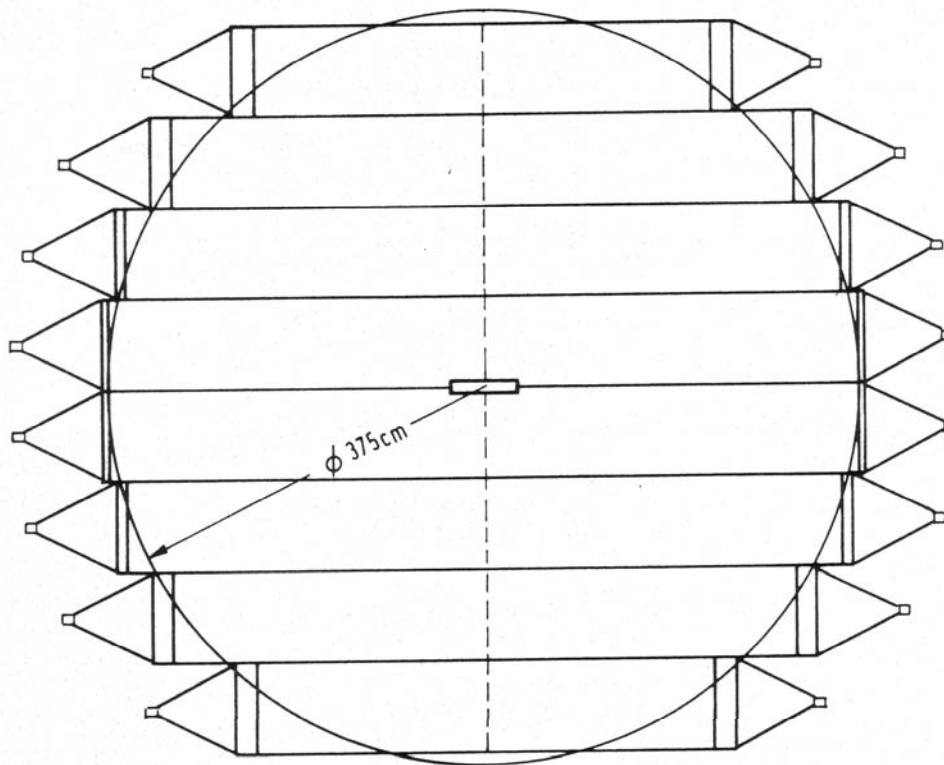


Was passiert bei CDHS?

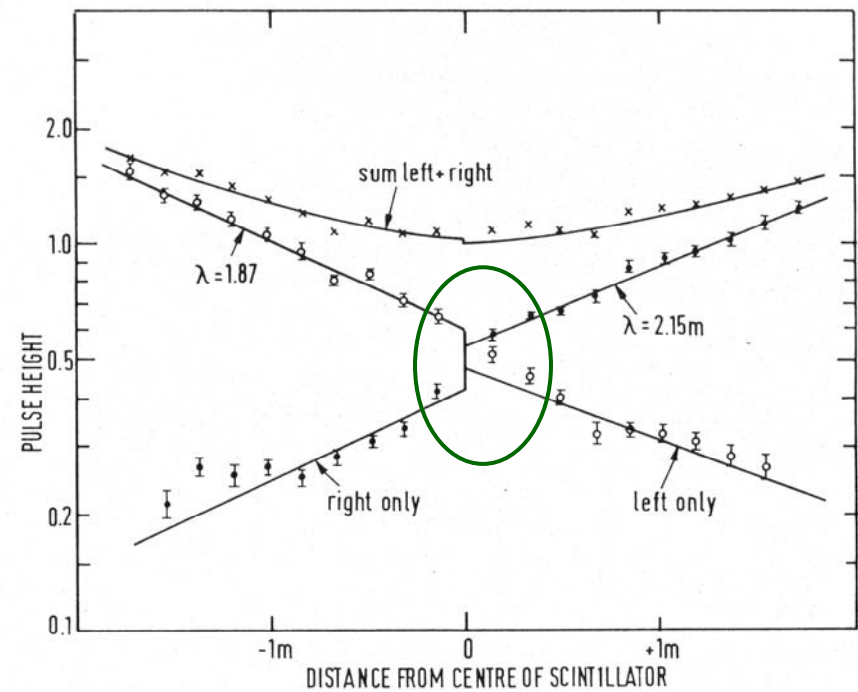


Hadronische Kalorimeter

■ Szintillatorebene:



■ Szintillatorsignale:



Strukturfunktionen

$$F_2 = \frac{\pi}{G^2 m_N E_\nu} \left[\frac{d^2 \sigma^\nu}{dx dy} + \frac{d^2 \sigma^{\bar{\nu}}}{dx dy} \right] \frac{1}{1 + (1 - y)^2}$$

$$2xF_1 = F_2$$

$$xF_3 = \frac{\pi}{G^2 m_N E_\nu} \left[\frac{d^2 \sigma^\nu}{dx dy} - \frac{d^2 \sigma^{\bar{\nu}}}{dx dy} \right] \frac{1}{(1 - (1 - y)^2)}$$

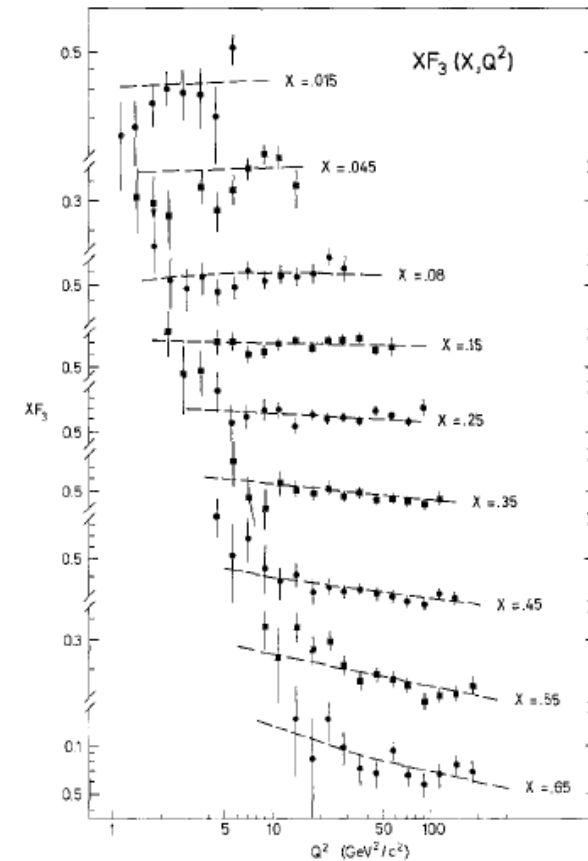
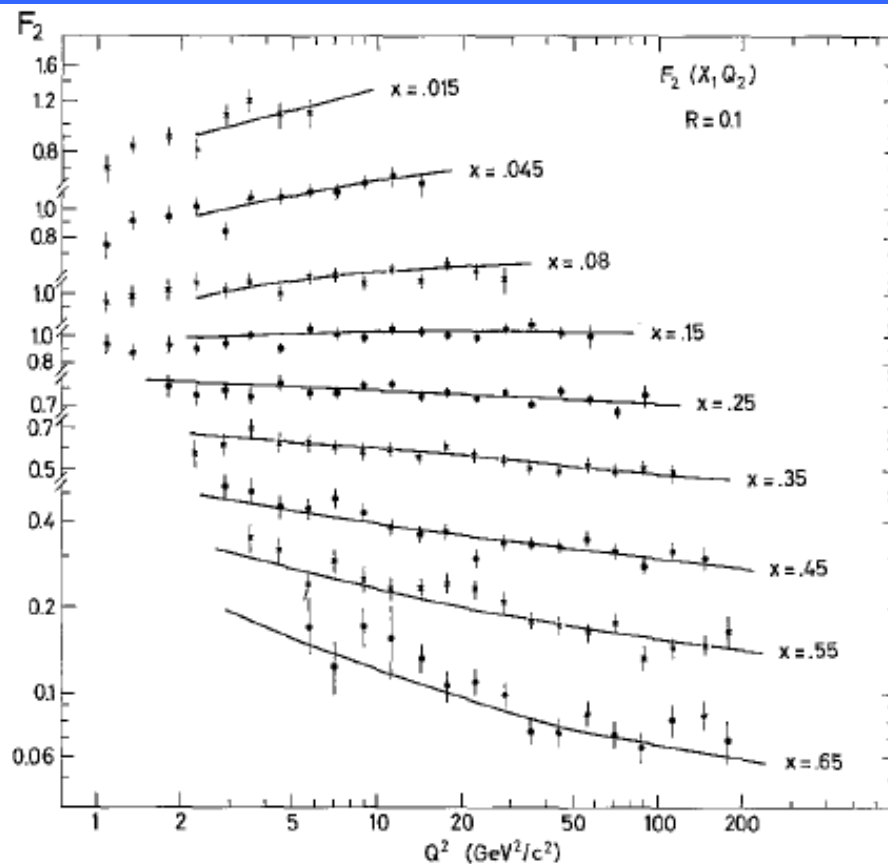
Messwerte:

Wirkungsquerschnitte

Neutrinoenergien

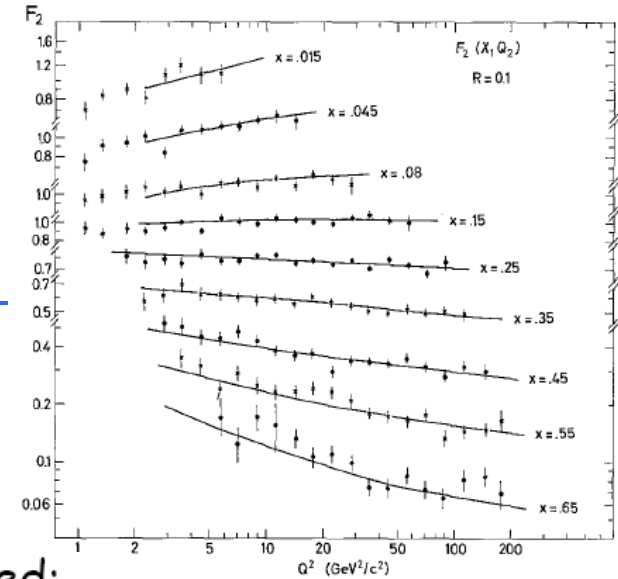
Relativer Energieübertrag

Strukturfunktionen in Abhängigkeit von Q^2



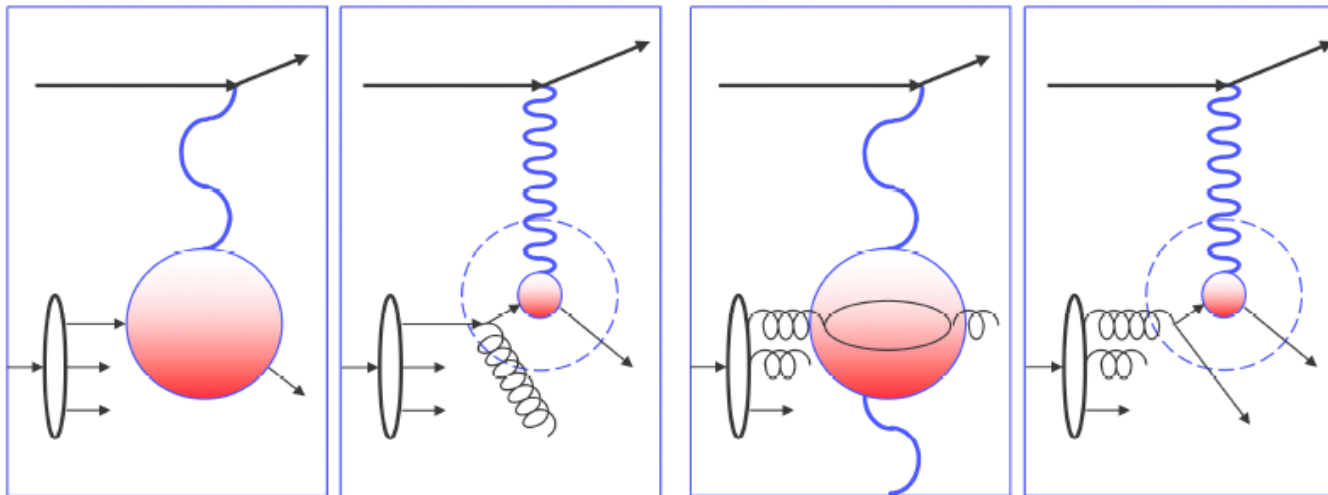
- Konstante Strukturfunktion \Rightarrow punktförmiges Target \rightarrow Quarks
- Skalenverletzung \rightarrow QCD

Skalenverletzung



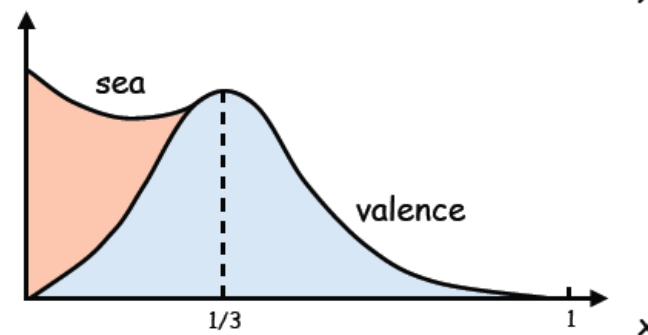
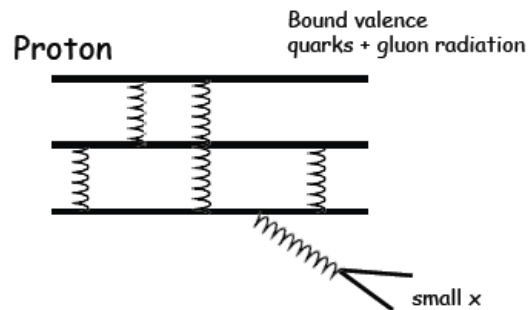
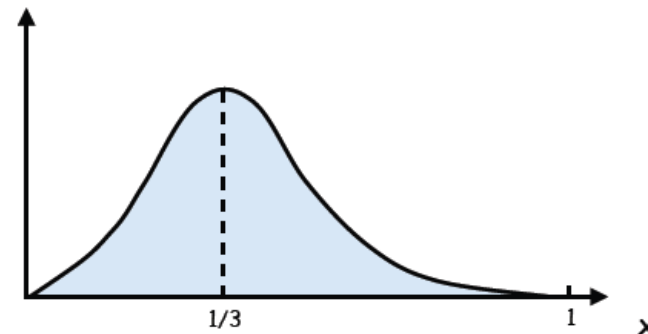
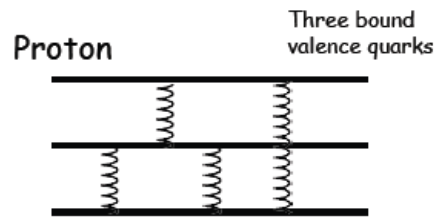
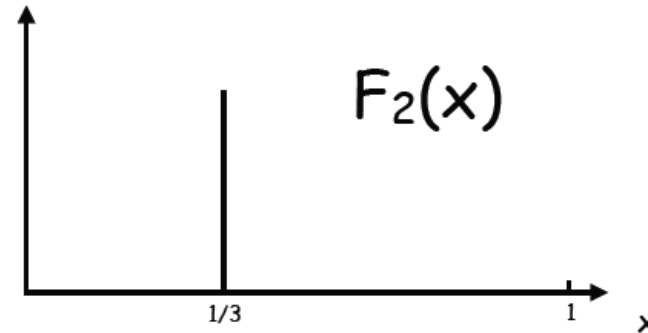
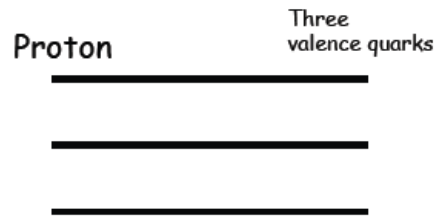
• Proton quark dominated:
 $Q^2 \uparrow \Rightarrow F_2 \downarrow$ for fixed x

• Proton gluon dominated:
 $Q^2 \uparrow \Rightarrow F_2 \uparrow$ for fixed x



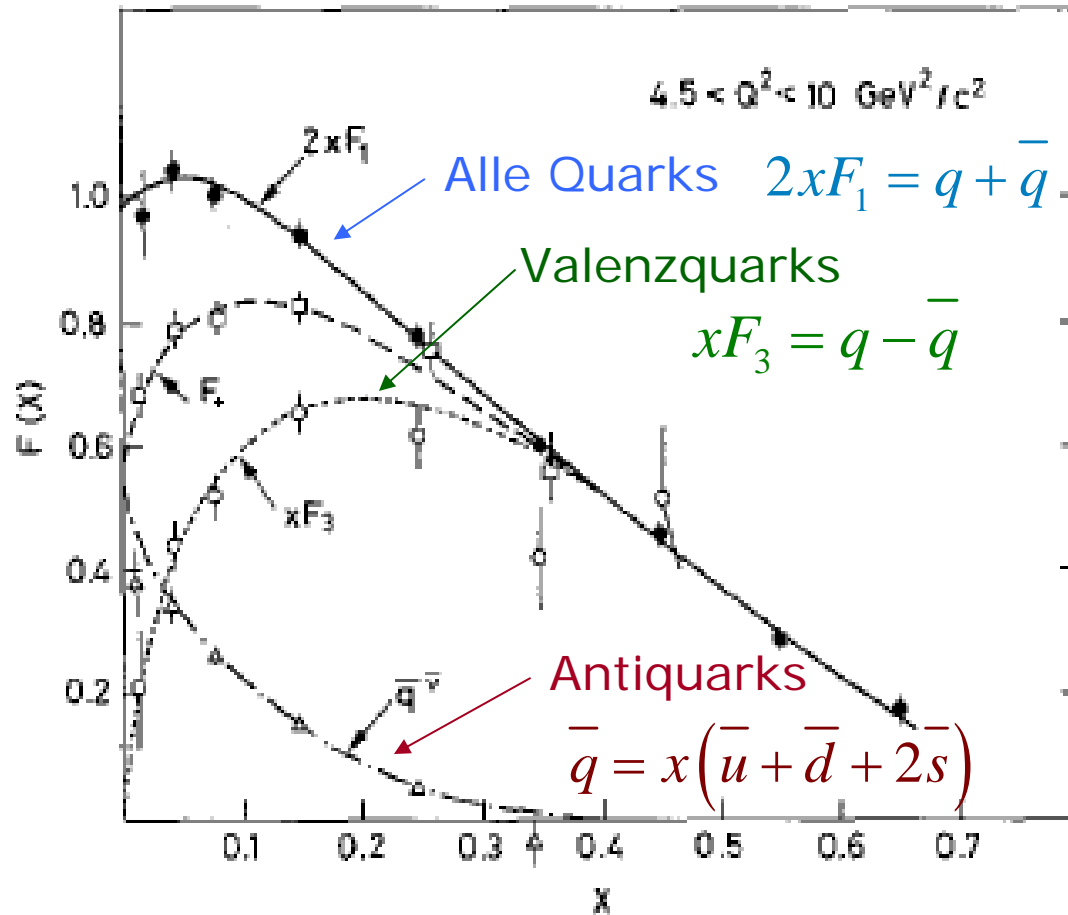
=> CDHS - Experiment bestätigt QCD!

Strukturfunktionen in Abhängigkeit von x - Erwartung

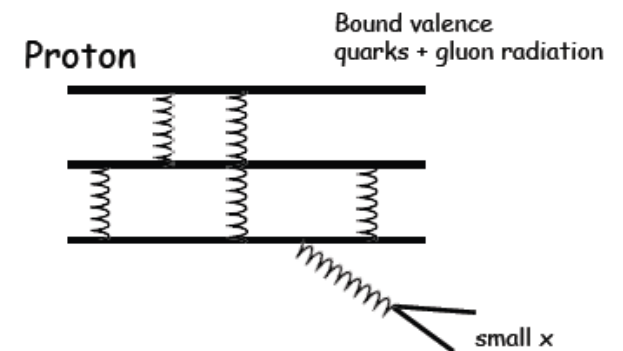


[see e.g. Halzen/Martin]

Strukturfunktionen in Abhängigkeit von x – Experiment CDHS

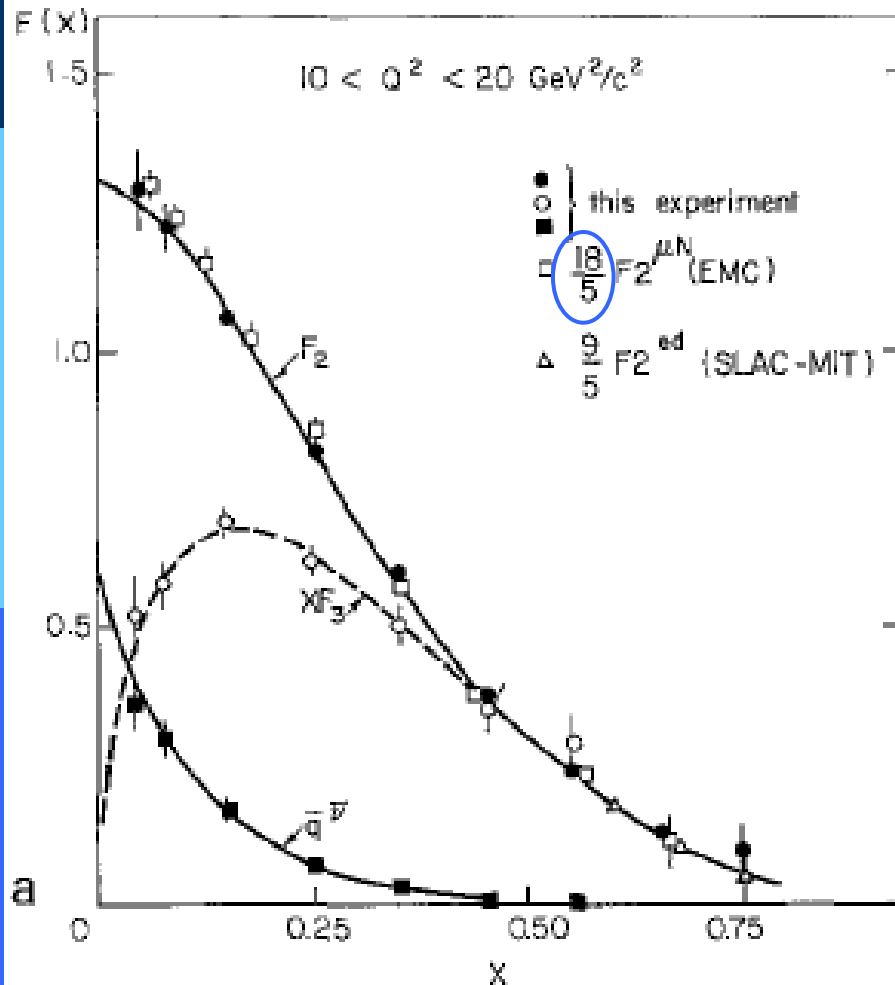


- Experiment entspricht Erwartung für:



Direkter Blick ins Innere des Nukleons
 ...mit der Brille der schwachen WW

Vergleich mit Strukturfunktionen aus Leptonstreuung



- Schwache WW

$$F_2 = q + \bar{q}$$

- Elektromagnetische WW

$$F_2 = \frac{1}{2} \left[\left(\sum_i e_i^2 (q_i + \bar{q}_i) \right)_p + \left(\sum_i e_i^2 (q_i + \bar{q}_i) \right)_n \right]$$

$$= \frac{5}{18} (q + \bar{q})$$

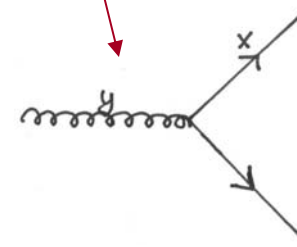
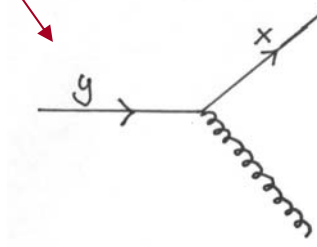
- Einziger Unterschied:
 Faktor 5/18 bzw. 18/5:
 - Aus drittelzahliger Ladung der Quarks

Gluonverteilung

- Altarelli-Parisi Gleichungen

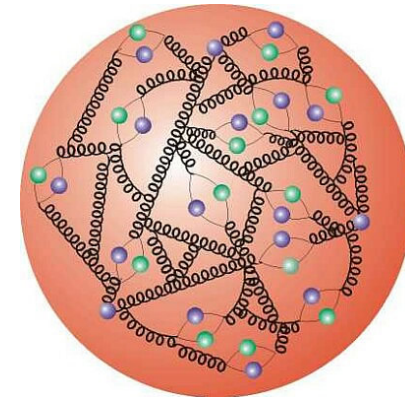
$$\frac{dq(x, Q^2)}{d \ln Q^2} \propto \int_x^1 q(y, Q^2) \cdot P_q(y \rightarrow x) + g(y, Q^2) \cdot P_g(y \rightarrow x) dy$$

Aus: F_2 und \bar{q}

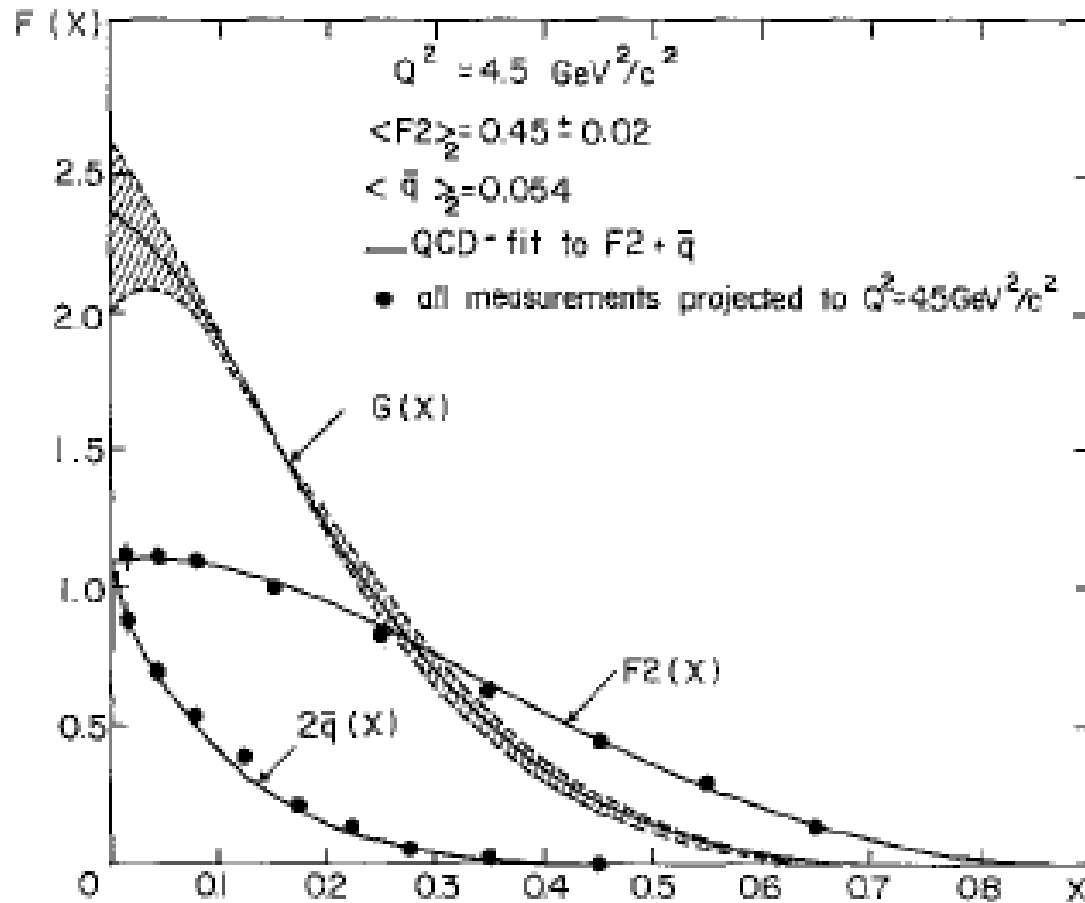


Aus: $\frac{dF_2}{d \ln Q^2}$ und $\frac{d\bar{q}}{d \ln Q^2}$

= > Gluonverteilung!!



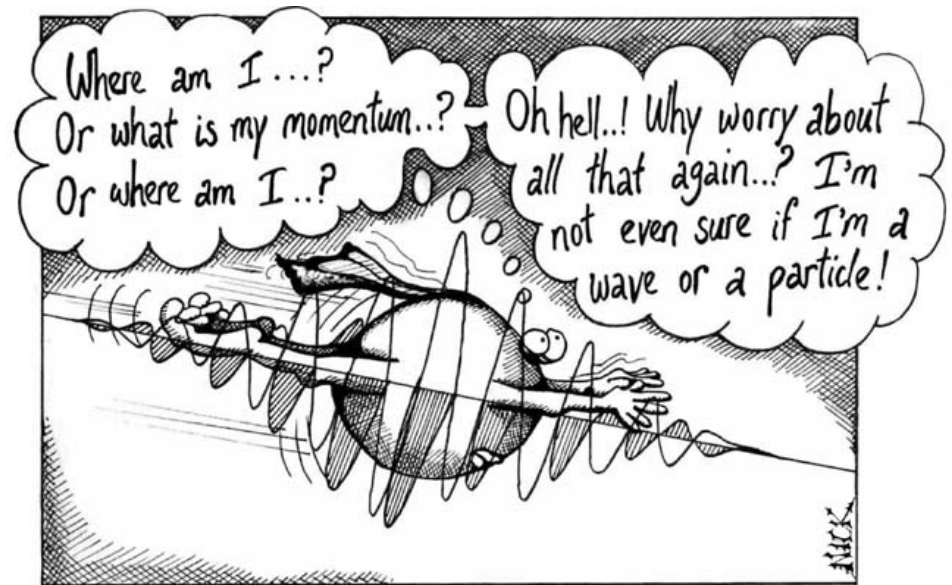
Gemessene Gluonverteilung: CDHS



- Erste Messung der Gluonverteilung überhaupt!

Zusammenfassung

- Nukleonen bestehen aus:
 - Valenzquarks
 - Seequarks
 - Gluonen
- Dominant bei kleinen x :
 - Gluonen
 - Seequarks -> entstehen aus Gluonen
- Dominant bei großen x :
 - Valenzquarks
- QCD beschreibt alle diese Phänomene korrekt.





Ende

Vielen Dank fürs Zuhören!